

## 制限三体問題について

東大 教養 斎藤 利洋

講演の目的は制限三体問題の歴史的定式化と、G. D. Birkhoff の論文

The Restricted Problem of Three Bodies, Rend. Circ. Mat. Palermo.

vol. 39 (1915), 265-334

をほんの一端と紹介するにとどまる。

### §1. 運動方程式

三つ、天体  $S, J, P$  が互いに万有引力を引きあひながら運動しているとき、これらの天体の運動を調べる、即ち三体問題であるが、特に、 $P$  の質量が  $S, J$  の質量に比べてきわめて小さく、 $P$  の位置をとることの問題を取りあげたのが、制限三体問題 (Restricted problem of three bodies) である。

$S$  と  $J$  の質量の和を質量の単位にとし、 $S$  の質量を  $\mu$ 、 $J$  の質量を  $1-\mu$ 、 $P$  の質量を  $m$  とする。 $m \rightarrow 0$  とすれば、この場合が制限三体問題である。

このとき、 $S$  と  $J$  の運動は  $P$  なし、引力は影響を及ぼさないから、 $S$  と  $J$  の運動は二体問題として決定される。

たが、 $\tau$ 、それらは必ず  $S$  と  $J$  との重心を焦点とする椭円の上を動く。問題を簡単にするために、 $S$  と  $J$  との軌道の内となる場合のみを考える。(エネルギー一積分の値を  $E$ 、角運動量積分の値を  $h$ 、万有引力常数を  $k$  とすれば、 $2h^2E + h^2\mu^6 = 0$  のとき、このより特殊な実現がある。)

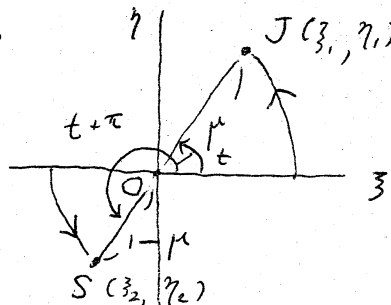
$S$  と  $J$  の運動が  $\pi$ -面上で、 $S$  と  $J$  との重心を焦点とする直交座標系  $(\xi, \eta)$  を取る、また  $\overline{SJ}$  の距離を長さの単位とし、 $\xi$  軸を適当な方向とすれば、時刻  $t$  における  $J$  の座標  $(\xi_1, \eta_1)$  は時間の単位を適当にすれば

$$\xi_1 = \mu \cos t, \quad \eta_1 = \mu \sin t$$

$S$  の座標  $(\xi_2, \eta_2)$  は

$$\xi_2 = (1-\mu) \cos(t+\pi), \quad \eta_2 = (1-\mu) \sin(t+\pi)$$

で  $\xi_1 + \xi_2 = 0$ 、簡単な計算により確かめられる。ゆえに  $S, J$ 、および重心標、原点 ( $\mu$  と  $1-\mu$  の  $S, J$  の重心) 0 は一直線上にあり、この直線は角速度 1 で回転している。



これが  $\rightarrow$  質点  $S, J$  が下に  $P$  の行う運動は次の運動方程式で表されると示される。

$P$  の座標を  $(\xi, \eta)$  とすと、

$$\overline{PJ} = \sqrt{(\xi - \xi_1)^2 + (\eta - \eta_1)^2} = p_1, \quad \overline{PS} = \sqrt{(\xi - \xi_2)^2 + (\eta - \eta_2)^2} = p_2$$

とみむけ

$$\frac{d^2\tilde{\xi}}{dt^2} = -\frac{(1-\mu)(\tilde{\xi}-\tilde{\xi}_1)}{\rho_1^3} - \frac{\mu(\tilde{\xi}-\tilde{\xi}_2)}{\rho_2^3},$$

$$\frac{d^2\tilde{\eta}}{dt^2} = -\frac{(1-\mu)(\tilde{\eta}-\tilde{\eta}_1)}{\rho_1^3} - \frac{\mu(\tilde{\eta}-\tilde{\eta}_2)}{\rho_2^3},$$

$$\tilde{\xi}_1 = \mu \cos t, \tilde{\eta}_1 = \mu \sin t, \tilde{\xi}_2 = (1-\mu) \cos(t+\pi), \tilde{\eta}_2 = (1-\mu) \sin(t+\pi)$$

この微分方程式は尤モ explicit な形で力学系として  
表され、ある場合に解ける。たゞ explicit な形の方程式は  
直角座標系、O を原点、直線 SJ が x 軸、それに直交する  
直線 S'J' が y 軸とし、 $\tilde{\xi}\eta$  系上に角速度  $\omega$  回転する座標系  
(x, y) で表される。この運動方程式は

$$(1) \quad \frac{d^2x}{dt^2} - 2 \frac{dy}{dt} - x = -\frac{\partial U}{\partial x}, \quad \frac{d^2y}{dt^2} + 2 \frac{dx}{dt} - y = -\frac{\partial U}{\partial y},$$

$$U = -\frac{1-\mu}{\rho_1} - \frac{\mu}{\rho_2}, \quad \rho_1 = \sqrt{(x-\mu)^2 + y^2}, \quad \rho_2 = \sqrt{(x+1-\mu)^2 + y^2}$$

(この座標系は周囲 J, S, S' を構成する  $(\mu, 0)$ ,  
 $(-1+\mu, 0)$  となる。すなはち  $\rho_1 = \overline{PJ}$ ,  $\rho_2 = \overline{SJ}$  の上式を満足する。)

力学系的取扱いを  $\dot{x} = u, \dot{y} = v$  とすれば、方程式は  $\frac{du}{dt} = \frac{1}{2}v$  と書かれる。

$$(2) \quad \frac{du}{dt} = u, \quad \frac{dv}{dt} = v, \quad \frac{du}{dt} = x + 2v - \frac{\partial U}{\partial x}, \quad \frac{dv}{dt} = y - 2u - \frac{\partial U}{\partial y}$$

であるが、(1) と

$$L = \frac{1}{2}(\dot{x}^2 + \dot{y}^2) + (x\dot{y} - \dot{x}y) + \frac{1}{2}(x^2 + y^2) - U$$

は Lagrangian とすばる微分問題  $\delta \int L dt = 0 \rightarrow$  Euler 方程式を  
なす。これを  $\dot{x} = u, \dot{y} = v$  とすれば、(1) と

$$(3) \quad \frac{dx}{dt} = \frac{\partial H}{\partial p_x}, \quad \frac{dy}{dt} = \frac{\partial H}{\partial p_y}, \quad \frac{dp_x}{dt} = -\frac{\partial H}{\partial x}, \quad \frac{dp_y}{dt} = -\frac{\partial H}{\partial y},$$

$$H = \frac{1}{2}(p_x^2 + p_y^2) + (y p_x - x p_y) + U, \quad (p_x = \dot{x} - y, \quad p_y = \dot{y} + x)$$

○ 這是 Hamiltonian form は  $\frac{d}{dt} < = \dot{x} \dot{y} - \dot{y} \dot{x}$  です。

(3) の直線  $= (1)$  の  $H$  を積分して  $x = t + \text{const}$  です。

Jacobi の積分はまだ

$$(4) \quad H = \frac{1}{2}(u^2 + v^2) - \frac{1}{2}(x^2 + y^2) + U$$

$\frac{du}{dt} < = \dot{u} \dot{v} - \dot{v} \dot{u}$  です。

(2) 上の議論では  $S, J, P$  の同一平面上運動と仮定してます。  
制限三体問題の重要な応用、一つの惑星、運動、重力  
から  $S$  の太陽、 $J$  の木星、 $P$  の土惑星である場合には、仮  
定がほぼ実現されてます（つまり）。

## §2. 特異点

以後主として微分方程式 (2) について議論します。

(2) の trivialな解、すなわち特異点は

$$u = v = 0, \quad x = \frac{\partial U}{\partial u}, \quad y = \frac{\partial U}{\partial v}$$

つまり  $x = 0, y = 0$  平面上です。

$$(5) \quad \begin{aligned} \frac{(1-\mu)(x-\mu)}{((x-\mu)^2 + y^2)^{\frac{3}{2}}} + \frac{\mu(x+1-\mu)}{((x+1-\mu)^2 + y^2)^{\frac{3}{2}}} - x &= 0, \\ \frac{(1-\mu)\cancel{(y+1-\mu)}y}{((x-\mu)^2 + y^2)^{\frac{3}{2}}} + \frac{\mu(y)}{((x+1-\mu)^2 + y^2)^{\frac{3}{2}}} - y &= 0, \end{aligned}$$

を満足する点である。(5) 式の直線:

$$y=0, \quad \text{または} \quad \frac{1-\mu}{((x-\mu)^2+y^2)^{\frac{1}{2}}} + \frac{\mu}{((x+1-\mu)^2+y^2)^{\frac{1}{2}}} - 1 = 0$$

を得る。  $y=0$  の時:

$$\frac{(1-\mu)(x-\mu)}{|x-\mu|^3} + \frac{\mu(x+1-\mu)}{|x+1-\mu|^3} - x = 0$$

これを満たす  $x$  の値は、 $(-\infty, -1+\mu), (-1+\mu, \mu), (\mu, \infty)$  に分かれ、 $x_1, x_2, x_3$  と表される。存在する点は容易にわかる。左端点は  $(x_1, 0), (x_2, 0), (x_3, 0)$  である。

$y \neq 0$  の場合は、上式を下し化式、簡単な変形により、

$$(x-\mu)^2 + y^2 = (x+1-\mu)^2 + y^2 = 1$$

が得られ、質量点は SJ 線上に存在する。正三角形の頂点

$$P_1: \left(\mu - \frac{1}{2}, \frac{\sqrt{3}}{2}\right), \quad P_2: \left(\mu - \frac{1}{2}, -\frac{\sqrt{3}}{2}\right)$$

である。これらは、左端点、右端点、質量点を Lagrange 平衡 と呼ぶ。

これらは  $(x_1, 0), (x_2, 0), (x_3, 0)$  が不安定であることは直ちにわかる。  $P_1, P_2$  は常に直線:

$$\mu(1-\mu) > \frac{1}{27}$$

と不穩定であることを示す。

$$\mu(1-\mu) \leq \frac{1}{27}$$

のときは、微分方程式、右辺を  $P_1, P_2$  の近傍で Taylor 展開したときの 1 次の項の係数をつくる行列の固有値すべて純虚数にならない、安定性は直ちにわかる。しかし  $\mu$  が  $\frac{3}{16}$  の例外的な値を除けば、実は  $P_1, P_2$  は安定な（しかも両側も安定な）特異点であることが証明されているようである。（C.L.Siegel & J.Moser, Lectures on celestial mechanics, Springer, 1971）

### §3. 積分曲面の分類

$$F = -\frac{1}{2}(x^2 + y^2) + U$$

と  $\frac{P}{E}H$  は、Jacobi の積分 (4) は

$$(6) \quad H = \frac{1}{2}(u^2 + v^2) + F$$

と  $\frac{P}{E}H$  は、 $H = E$  ( $E$  : 定数) とえられる積分曲面  $\Sigma$  の

よ；なぜかと調べるために、(6) を使、 $H = E$  と

$$(7) \quad F = -\frac{1}{2}(u^2 + v^2) + E$$

と書き直す。(7) が満たす  $F \leq E$  ;  $H = E$  上の  $\Sigma$  の

$xz$  平面への射影は、領域  $F \leq E$  中の  $z < 0$  の部分である。

積分曲面  $H = E$  上の  $z > 0$  の部分は orbit,  $xz$  平面への射影

は領域  $F \leq E$  上の  $z > 0$  の部分である。この領域、境界  $F = E$  は、 $H = E$  と

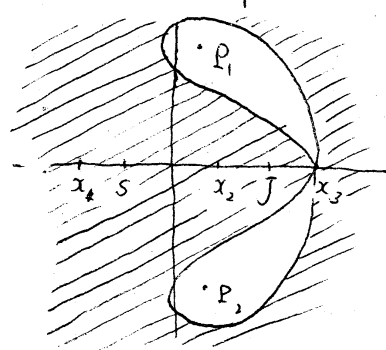
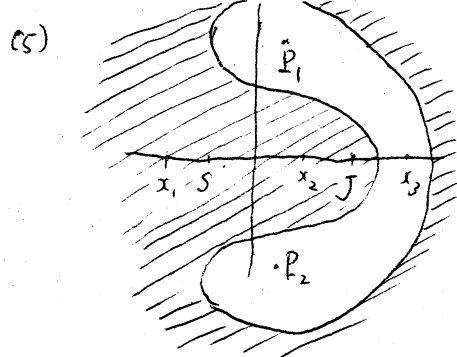
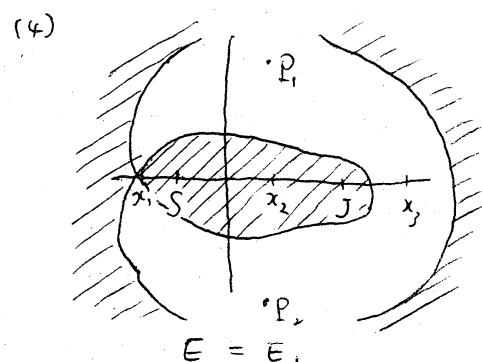
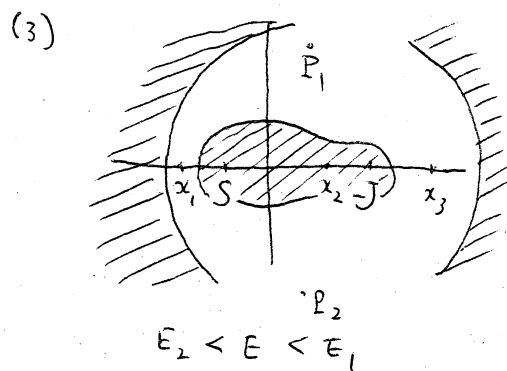
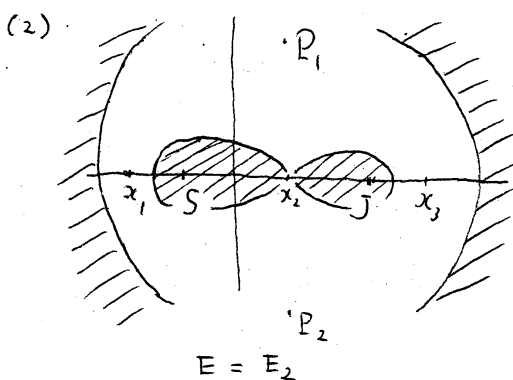
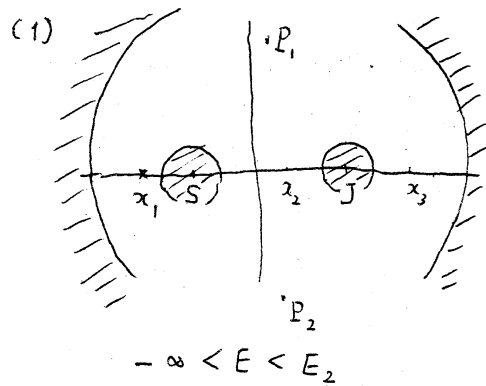
$xz$  平面との交線を、零速度曲線とよばれる。 $E = n^3 + 3$

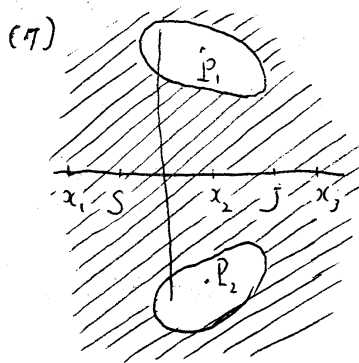
を値に対する  $F \leq E$  を調べよう。

$$E_1 = F(x_1, 0), E_2 = F(x_2, 0), E_3 = F(x_3, 0),$$

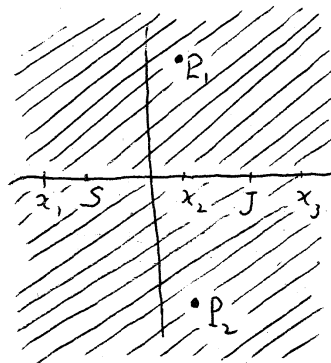
$$E_4 = F\left(\mu - \frac{1}{2}, \frac{\sqrt{3}}{2}\right) = F\left(\mu - \frac{1}{2}, -\frac{\sqrt{3}}{2}\right)$$

$E_1 < E_2 < E_3 < E_4$  且  $E_1 < E_3$  且  $\mu$  值之關係  
 $\exists z = k + bi$  之  $z$ . 使  $E_1 < E_3 & z$  之  $z$ ,  $F \leq E$ , 形如圖,  
 無論  $\frac{k}{b}$  之  $z$  有無。





$$E_3 < E < E_4$$



$$E = E_4$$

今ま  $\tau$  は比較的  $< \hbar$  で  $\tau < \frac{1}{2}\hbar$  の場合を除く。場合 (1), 場合 (2) がも、  $J$  または  $S$  または oval の内部の運動が起こる場合もあつた。

(2), (4), (6), (8), 上と同様,  $H = E \Rightarrow$  singularity または  $\tau$  の場合を除く, また  $F \leq E$  の有界な場合を除く, 上述の  $\tau$  の場合と, (3) の, 運動が内側の oval の内部のみで起こる場合だけが残る。今後は主としてこの場合を調べる。

#### § 4 Regularization

(1) および (3) の,  $\tau \rightarrow t$ ,  $F \leq E \Rightarrow$  compact な  $\tau$  の場合を除く, つまり  $F \leq E$  の中で  $f_1 = 0$  又は  $f_2 = 0$  となる  $\tau$  の場合,  $u, v$  が有限である,  $\tau = \tau(u, v)$  有り  $\tau = \tau_j$  なる  $\tau$ .  $H = E \Rightarrow$  compact な  $\tau$  となつ。Birkhoff はこの変換と reparametrization を行なう,  $\tau$ , 微分方程式の上記の領域の持つ性質  $\tau \in T_2 \mathcal{F}$ ,  $\tau \in \mathcal{F}$ ,  $\tau : H = E \Rightarrow$  compact な manifold である。

よしに  $\tau$  を  $\zeta$  と  $\eta$  で示す  $\tau$ .

$$z = x + iy, \quad w = \zeta + i\eta$$

$$(8) \quad \frac{z+1-\mu}{z-\mu} = \left( \frac{w+1-\mu}{w-\mu} \right)^2$$

したがって  $(x, y)$  と  $(\zeta, \eta)$  の変換式は  $\tau$  である。すなはち

$$\tau \quad x = \mu, y = 0; \quad x = -1 + \mu, y = 0 \quad \text{は} \quad z = \zeta + i\eta, \quad \zeta = \mu, \eta = 0; \quad \zeta = -1 + \mu, \eta = 0$$

である。

$$R_1 = \sqrt{(\zeta - \mu)^2 + \eta^2}, \quad R_2 = \sqrt{(\zeta + 1 - \mu)^2 + \eta^2}, \quad R_3 = \sqrt{(\zeta + \frac{1}{2} - \mu)^2 + \eta^2}$$

とおき、 $\pm$  は

$$\frac{d\tau}{dt} = \frac{4R_3^4}{R_1^2 R_2^2}$$

したがって  $\tau$  は  $x = -1 - \zeta$  と  $\tau$  を定義する。後で調べよう。

もし  $R_3 = 0$ , すなはち  $\zeta = \mu - \frac{1}{2}$ ,  $\eta = 0$  は  $xy$  平面の無限遠点に対応する。

$F \leq E$  の場合を除く、この範囲では、

$\tau$  は  $t$  と  $\tau$  と単調に増加する  $x = -1 - \zeta$  と  $\tau$  と。

さて、とき得る方程式 (2) は

$$\frac{d\zeta}{d\tau} = \zeta', \quad \frac{d\eta}{d\tau} = \eta', \quad \frac{d\zeta'}{d\tau} = \frac{1}{2} \frac{R_1^2 R_2^2}{R_3^4} \eta' + \frac{\partial \Omega}{\partial \zeta}, \quad \frac{d\eta'}{d\tau} = -\frac{1}{2} \frac{R_1^2 R_2^2}{R_3^4} \zeta' + \frac{\partial \Omega}{\partial \eta}$$

$$\Omega = \frac{R_1^2 R_2^2}{R_3^4} \left[ \frac{(1-\mu)R_1^4 + \mu R_2^4}{8R_3^2} + 2R_3 \left( \frac{1-\mu}{R_1^2} + \frac{\mu}{R_2^2} \right) - \frac{\mu(1-\mu)}{2} \right]$$

となる。この方程式は  $R_3 = 0$  の場合を除いて  $\tau$  と  $\zeta$  の関係式。

を Jacobi の形で

$$H = \frac{2R_3^4}{R_1^2 R_2^2} \left( \zeta^2 + \eta^2 - \Phi(\zeta, \eta) \right),$$

$$\bar{\Psi}(z, \eta) = \frac{R_1^2 R_2^2}{16 R_3^6} ((1-\mu) R_1^4 + \mu R_2^4) + \frac{1}{R_3^3} ((1-\mu) R_2^2 + \mu R_1^2) - \frac{\mu(1-\mu) R_1^2 R_2^2}{4 R_3^4}$$

$\frac{3}{16}$  分の丸、 $\frac{3}{8}$  分の四面  $H = E$  は

$$\bar{s}^{1/2} + \eta^{1/2} = \bar{\Psi}(z, \eta) = \frac{R_1^2 R_2^2}{16 R_3^6} ((1-\mu) R_1^4 + \mu R_2^4) + \frac{1}{R_3^3} ((1-\mu) R_2^2 + \mu R_1^2)$$

$$+ (2E - \mu(1-\mu)) \frac{R_1^2 R_2^2}{4 R_3^4}$$

と  $\frac{3}{16}$  分の丸。 $\therefore$  その複数が Birkhoff regularization である。

複数  $(\delta)$  は  $z_1, z_2 \rightarrow 0$  の値  $= 1 - \frac{1}{2}\mu$  は  $w_0 = \infty$  の値  $w_1$ ,  $w_2$  の対応で、分歧点は  $z = \mu$ ,  $z = -1 + \mu$  である。

$\operatorname{Im} z \neq 0$  のとき  $z = t_1 + i\operatorname{Im} z$  は  $w = t_1 + i\operatorname{Im} w$  で  $\operatorname{Im} w \neq 0$  で、

$\operatorname{Im} w_1$  と  $\operatorname{Im} w_2$  は反対符号である。 $(t_1 + i\operatorname{Im} z, t_2 + i\operatorname{Im} z)$ ,

$\operatorname{Im} w_1 > 0$ ,  $\operatorname{Im} w_2 < 0$  と  $\operatorname{Im} z \neq 0$ .

また、 $(\delta)$  は  $w \rightarrow \infty$  で  $z = \infty \rightarrow$  逆像  $\tau$  で Taylor 展開可

れり

$$w = \begin{cases} 2z + \frac{1-2\mu}{2} + \dots \\ -\frac{1-2\mu}{2} + \dots \end{cases} \quad (\dots \text{は } \frac{1}{z}, \text{ 正のべき級数})$$

となるが  $z = \infty$  は、 $w$  平面で  $\infty$  と、 $-\frac{1-2\mu}{2} = \mu - \frac{1}{2}$  は  $w$  の

反対。

$z \rightarrow$  實軸上で  $-\infty \rightarrow +\infty$  まで  $z = -t$  と  $w$  の対応は  $1/2$

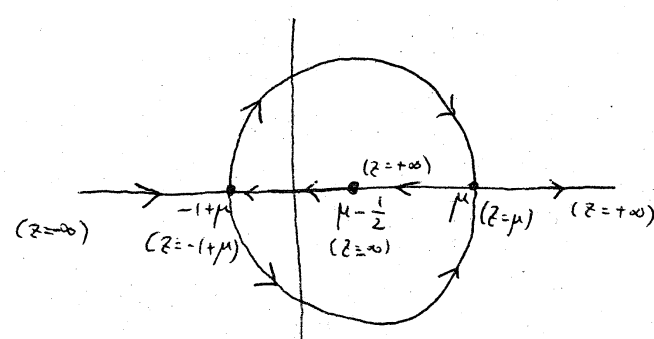
のよう  $t = z_2$  。

$L_2$  上で  $z = t$  とし、 $\operatorname{Im} z = 0$

を除けば、 $w$  平面と

$w$  上半平面との対応は

$1 - 1/z$  通り、 $\operatorname{Im} z = 0$

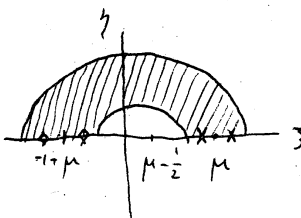
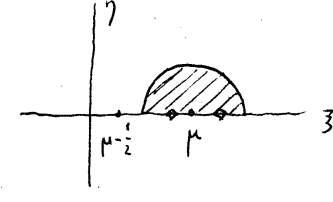


す所で  $-1+\mu \leq z \leq \mu$  の範囲は、それは対応する  $w$  の値で、  
 $w$  の上半平面  $\Im w \geq 0$  にかたる区域。ただし  $(-\infty, -1+\mu)$  と  $(\mu, \infty)$   
 は属するとはいって  $\Im w > 0$  は、  $w_1, w_2$  がともに  $\Im w = 0$  平面上の実軸上  
 にあるから。

領域  $F \leq E$  は、  $w$  平面上では  $\operatorname{Im}(\beta, \eta) \geq 0$  にあらわす。そして  
 領域  $\operatorname{Im}(\beta, \eta) \geq 0$  の  $\operatorname{Im} w \geq 0$  に属する部分だけとておき、  
 この領域は  $\operatorname{Im} w = 0$  の部分を除いて、領域  $F \leq E$  と  $1 - F$  に対応  
 する。

場合 (1) の  $S, J$  まわりの oval は、図のように  $w$  平面上で  
 $\beta(\mu, 0)$  のまわりの oval の上半部  
 とほほ一対一に対応する。ただし  $\eta = 0$  の部分では二つの  $w$  の値  $z_1, z_2$  で  
 ある。これは対応である。

場合 (3) の  $S, J$  を同時にかじると  
 oval は右図の斜線を施した部分と  
 ほほ一対一に対応する。ただし  $\eta = 0$  の部分だけは一対二の対  
 应となる。この場合と同様である。



### §5 積分曲面、形、決定

今まで得られた結果を基にして Birkhoff は ~~は~~ 積分曲面  $H = E$  がどのような多様体と位相同型であるかを決

定理 3.  $\zeta, \eta$  は  $\mathbb{H}$  の elementary な 2 点である。

また  $w$  上半平面  $\operatorname{Im} w = \eta \geq 0$  であると  $\exists z$ .  $H = E$   
は  $\zeta'^2 + \eta'^2 = \bar{\Psi}(z, \eta)$  となる。すなはち

$$(9) \quad \eta' = \pm \sqrt{\bar{\Psi}(z, \eta) - \zeta'^2}$$

であるが、 $\bar{\Psi}(z, \eta) \geq 0$  であるよろしく  $(z, \eta)$  によって

$$\zeta'^2 < \bar{\Psi}(z, \eta)$$

となるよろしく  $\zeta'$  の値を一つ決めると、それによって (9) は  $\eta'$  の値が二つ決まる。また

$$\zeta'^2 = \bar{\Psi}(z, \eta)$$

であるよろしく  $\zeta'$  の値を一つ決めると、それによって (9) は  $\eta'$  の値が二つ一組、すなはち  $\eta' = 0$  が決まる。

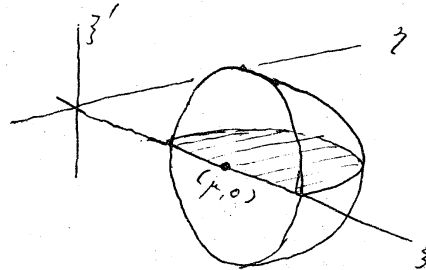
この二つを  $\zeta'$  とする。

$\zeta, \eta$  平面、 $\eta \geq 0$  の部分領域  $\bar{\Psi}(z, \eta) \geq 0$  とし、 $\zeta$  の上  
の各点  $(\zeta, \eta)$  を、 $\zeta$  の部分  $-\sqrt{\bar{\Psi}(z, \eta)} \leq \zeta' \leq \sqrt{\bar{\Psi}(z, \eta)}$  と、 $\zeta'$  を  
 $< \frac{\eta}{2}, = \frac{\eta}{2} \text{ と } \frac{\eta}{2} >$  とする。 $\Pi = \bigcup_{\bar{\Psi}(z, \eta) \geq 0} \{(z, \eta)\} \times \{\zeta'\} \mid -\sqrt{\bar{\Psi}} \leq \zeta' \leq \sqrt{\bar{\Psi}}\}$   
このよろしく  $\Pi$  は、 $-\frac{1}{2}$  は  $\eta' \geq 0$  に対応するものと  
してこれを  $\Pi_+$ 、他方  $\eta' \leq 0$  に対応するものをしてこれを  $\Pi_-$   
と表す。 $\Pi_+, \Pi_-$  の表面である  $\zeta'^2 = \bar{\Psi}(z, \eta)$  における  $z =$   
 $\eta'$  の一致したところを  $O$  とするが、 $\Pi_+$  と  $\Pi_-$  との表面は  
はりあわせる。それを  $\Pi'$  とすれば  $\Pi' \rightarrow H$  は  $H = E$  と同様な  
集合である。しかし  $\eta = 0$  の部分は  $H$  に組み、 $(x, y) = \overline{xj}$  で

3' の値が  $\pi/2$  より大きい場合、  $\Pi'$  を用いて  $\tilde{\gamma} = \frac{1}{\sqrt{4}}$  を identify してから  $\tilde{\gamma}$  は  $\tilde{\gamma}' = \frac{1}{\sqrt{4}}$  で identification が成り立つ。したがって球面  $H = E$  が完成する。

(1) の場合、  $J$  が  $\gamma$  と oval である  $\gamma = h(\gamma)$  とすると、  $\gamma$  は  $\tilde{\gamma} = \frac{1}{\sqrt{4}}(x_2 + \gamma)$  で半円状、領域に存在する  $\gamma$  は各点上

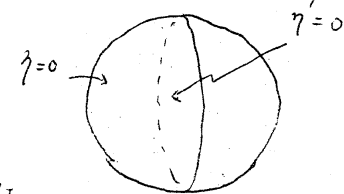
部分  $-\sqrt{4} \leq \tilde{\gamma}' \leq \sqrt{4}$  を立てると、



図より  $\gamma$  は半球状、立体ができる。これが  $\Pi$  である。このとき  $\gamma$  が球の表面に当たるとき  $\tilde{\gamma}' = \tilde{\gamma}(x, \gamma) = 0$  は対応する。すなはち、半球  $\tilde{\gamma} = (\Pi_+ \cup \Pi_-) \cap \gamma$  は、球の表面  $\gamma = 0$  と対応する。すなはち、 $(x, y)$   $\rightarrow (x, y)$  が対応する (分歧点  $x = \mu, y = 0$  を除く)。

（2）  $\tilde{\gamma}$  が  $\gamma$  と  $\tilde{\gamma}' = \frac{1}{\sqrt{4}}$  を identify して

あるとき、  $x = \mu, y = 0$  は  $(\tilde{\gamma}, \gamma)$  に  $\gamma = 0$  がまぶつかる。二つの分歧に対応する  $(\tilde{\gamma}', \gamma')$  が直角  $x \rightarrow \mu, y \rightarrow 0$  のとき一致しないとき、球の表面上ではやはり二つの分歧に対応する。したがって  $H = E$  は、 solid sphere において  $\gamma$  上に、二点を identify して  $\tilde{\gamma}$  となる。適当な deformation を行なうと、これは antipode を identify する  $\gamma = \tilde{\gamma}$  とな



$\exists, \mathbb{P}^2, H = E$  は射影空間  $\mathbb{P}^3$  と同相な = とのから  $\exists$ .

(3) の場合,  $J, S$  も oval なので同様に考察する  
が = 2 で,  $\Pi$  は図のよう)

= solid torus を半分に切る

正方形  $\exists$ , torus の表面が

$\eta' = 0$  に対応する  $\exists$  が, こ

そ  $\exists$  は solid torus を二つ,

表面は 2 つ, てはり 2 つあり

かはり  $\exists$  ない. それを見や

$\exists < \exists$  では, solid torus

を半分に切る, が図形で, 二

つ同心半球の内の領域を

deform する. このとき,

torus の表面が下の図の斜線部分に対応し, torus の切口

部分 =  $\exists$  内側のそれを同心半球の内面と外面とに対応

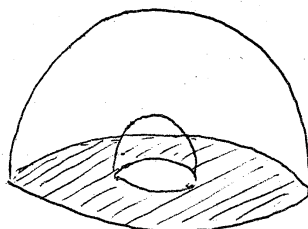
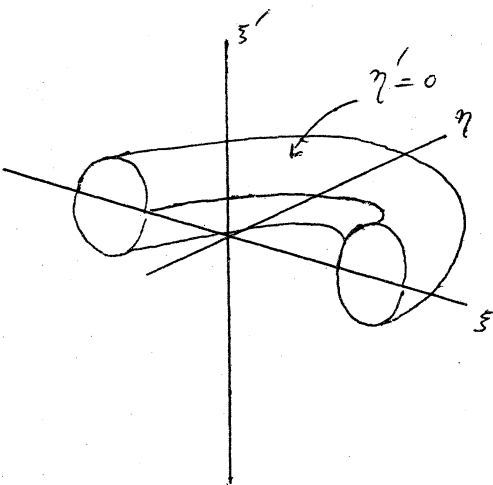
する. torus の内側を操作する, つまり同心半環を二

つ, 一つ, 二つ, 図の斜線部分を  $\exists$  にすればあわせると

なる, したがって同心球の内の領域が得られる了.  $\eta = 0$  の部分

$\exists$  identification は, 外側の球面, 内側, 球面を  $\exists$  に  $\exists$

$\exists$  antipode を identify する, と同一導入  $\exists$ .



### § 6. その他の結果

Birkhoff の定理は、場合 (1) の、運動量が  $J$  をとる oval が、内部に  $\mu = 0$  の場合を除いて成り立つ。彼はそれを  $\mu = 0$  の附近的の perturbation によって証明した。

Kepler 異常は度数変換  $\tau$ 、その度数は  $\rightarrow$  は力保存の ring domain は surface of section であることを示し、問題は ring domain の twist map であることを示す。これが本質的な Poincaré の idea である。

この twist map は  $\tau$  であるが、Poincaré は  $\tau$  を予想され、Birkhoff は  $\tau$  を証明するが不動点定理 (Poincaré の最後の定理) を適用する  $\tau = \tau_1 = \tau_2$  は、無数の周期軌道、存在を証明されたのであるが、それには  $\tau_2$  が  $\tau_1$  の余裕はない。